

## КОЛЕБАНИЯ КРУГОВОЙ ТРЕХСЛОЙНОЙ СТУПЕНЧАТОЙ ПЛАСТИНЫ, ПОБУЖДАЕМЫЕ МНОГОКРАТНО ПОВТОРНОЙ НАГРУЗКОЙ

Маркова М. В., Леоненко Д. В.

*Белорусский государственный университет транспорта, Гомель*

**Введение.** Композитные трехслойные элементы конструкций давно заняли свою нишу в инженерном деле. Их явное преимущество над элементами, выполненными из одного материала, заключается в возможности контролировать и задавать требуемые проектными и техническими условиями физико-механические параметры элемента: прочность, жесткость, тепло- и электропроводность, звуко- и магнитную проницаемость и т. д. Это возможно как раз благодаря сочетанию в рамках единого пакета свойств разнородных совместно работающих материалов. Кроме того, благодаря включению связующих срединных прослоек из легких материалов можно достичь существенного снижения общего веса конструкции без значимого ухудшения показателей прочности и жесткости. В то же время, проектирование слоистых конструкций с точным изменением толщины в наиболее напряженных местах повышает их рациональность с точки зрения материалоемкости.

Объем публикаций и научных исследований, направленных на моделирование и изучение работы слоистых конструкций, воспринимающих воздействие внешних нагрузок, включает несколько тысяч работ. Это обусловлено существованием различных методов приведения трехмерной задачи теории упругости к двумерной и подходов к моделированию и решению поставленных задач. Однако и на сегодняшний день трехслойные конструкции и, в частности, элементы с функциональным изменением толщины не утратили своей актуальности. Приведем обзор научных разработок схожей проблематики последних лет.

Собственные частоты и формы колебаний круговых пластин с функционально-изменяющейся толщиной заполнителя широко рассмотрены в работах Р. Лала и Р. Рани [1–5]. Схожая задача о свободных колебаниях трехслойной пластины с переменной толщиной срединного слоя обзревается в работе Ч. Чанга и Х. Чена [6]. Ч. Лу в работе [7] поднимает вопрос об изменении аэродинамических свойств трехслойной балки при изменении ее толщины вдоль пролета. В работе С. Суслера и Х. Туркмени [8] представлены теоретические и численные исследования нелинейного динамического деформирования пластин с конической формой сердцевины и коническим изменением толщины внешних слоев. В [9; 10] представлен способ изменения несущей способности прямоугольных сэндвич-панелей путем ступенчатого изменения толщины их внешних слоев, рассмотрены вопросы изгиба и устойчивости таких пластин, а также исследована зависимость между собственными частотами и формой ступенчатого профиля.

В данной работе будут рассмотрены вопросы динамического деформирования круговой трехслойной пластины со ступенчатым изменением толщины внешних слоев.

**Основная теоретическая часть.** Рассмотрим вынужденные колебания круговой жестко защемленной по наружному контуру трехслойной пластины. Толщина ее внешних слоев ступенчато изменяется вдоль радиуса. Толщина срединного заполнителя постоянна (рисунок 1).

Пластина находится в покое. Начальные деформации в пластине отсутствуют. В некоторый момент времени  $t_0$  пластина воспринимает действие внешней многократно повторной нагрузки, выводящей ее из состояния равновесия (рисунок 2). Функция рассматриваемого воздействия имеет вид:

$$q_{(I,II)}(r,t) = \sum_{m=1}^N \left( q_0 - q_0 \frac{t - (m-1)\tau}{\tau_q} \right) \left( H_0[(m-1)\tau + \tau_q - t] - H_0[(m-1)\tau - t] \right). \quad (1)$$

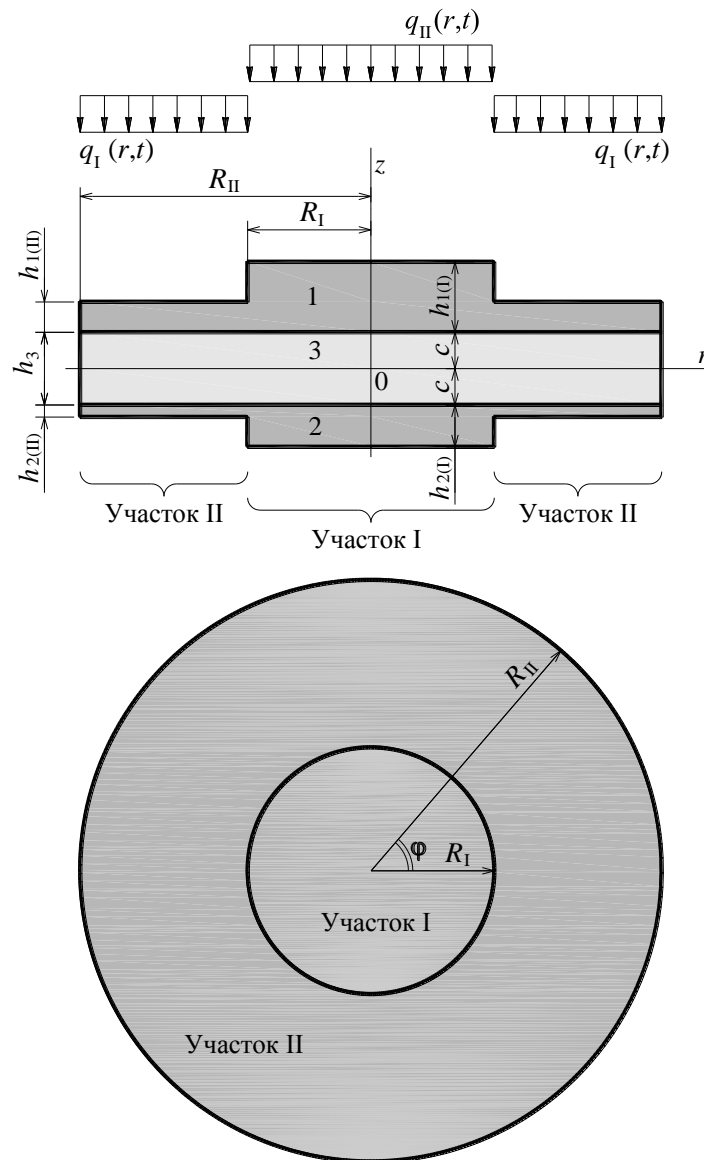


Рис. 1. Круговая трехслойная пластина со ступенчатым изменением толщины внешних слоев

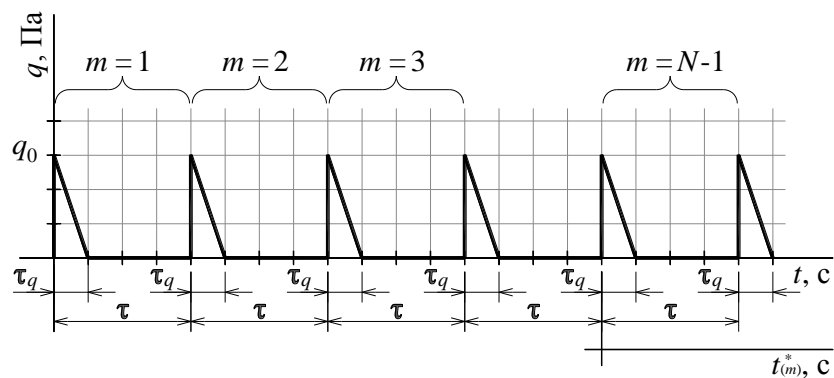


Рис. 2. Многократно повторная линейно-убывающая внешняя нагрузка

В приведенном выше выражении (1) I, II – номер рассматриваемого участка пластины (см. рисунок 1);  $q_0$  – максимальная интенсивность внешнего воздействия;  $\tau_q$  – продолжительность действия нагрузки;  $\tau$  – временной интервал длительности цикла загрузки, представляющий собой сумму времени действия внешней нагрузки и времени свободных колебаний пластины до восприятия следующего воздействия;  $m$  – номер цикла;  $N$  – количество ударов;  $H_0$  – функция Хевисайда [11]:

$$H_0(f) = \begin{cases} 0 & \text{при } f \leq 0; \\ 1 & \text{при } f > 0. \end{cases} \quad (2)$$

Деформирование пластины моделируется в рамках дискретно-структурного подхода, основанного на предположениях о характере работы каждого слоя в отдельности, образующих единую систему гипотез. Считаем, что относительно толстый срединный заполнитель пластины подвержен сдвиговым деформациям при его изгибе, то есть для него справедлива сдвиговая модель Тимошенко [12]. Деформирование относительно тонких внешних слоев описываем в соответствии с классической гипотезой Кирхгофа о прямолинейности и перпендикулярности нормали к срединной поверхности до и после изгиба пластины [13; 14]. То есть при изгибе пластины нормаль, проведенная к срединной поверхности, во внешних слоях поворачивается на некоторый угол  $\theta$ , и при этом остается прямолинейной и перпендикулярной к деформированной срединной плоскости. В то же время в пределах заполнителя нормаль повернется на некоторый угол  $\psi$ , причем  $\psi > \theta$ , но также останется прямолинейной и не изменит своей длины.

Таким образом получаем, что при колебаниях пластины в ней возникают следующие перемещения: изгиб  $w(r, t)$ , сдвиг в заполнителе  $\psi(r, t)$  и радиальное смещение координатной поверхности  $u(r, t)$ . В дальнейшем перечисленные функции будем считать искомыми.

Опираясь на вариационный принцип Гамильтона [15–17], в [18; 19] была получена система дифференциальных уравнений движения для каждого прямолинейного участка пластины, имеющего постоянную толщину. При этом общее решение для пластины в целом может быть представлено путем сопряжения частных решений для отдельных прямолинейных участков:

$$\begin{aligned} w &= w_{(I)} + (w_{(II)} - w_{(I)}) \cdot H_0(r - R_I); & \psi &= \psi_{(I)} + (\psi_{(II)} - \psi_{(I)}) \cdot H_0(r - R_I); \\ u &= u_{(I)} + (u_{(II)} - u_{(I)}) \cdot H_0(r - R_I). \end{aligned} \quad (3)$$

Для решения системы уравнений движения пластины функции искоемых перемещений  $w(r, t)$ ,  $u(r, t)$ ,  $\psi(r, t)$  представим в виде суммы квазистатических  $w_s(r, t)$ ,  $u_s(r, t)$ ,  $\psi_s(r, t)$  и динамических  $w_d(r, t)$ ,  $u_d(r, t)$ ,  $\psi_d(r, t)$  составляющих:

$$w_{(I,II)} = w_{s(I,II)} + w_{d(I,II)}; \quad u_{(I,II)} = u_{s(I,II)} + u_{d(I,II)}; \quad \psi_{(I,II)} = \psi_{s(I,II)} + \psi_{d(I,II)}. \quad (4)$$

Выражения для определения квазистатических составляющих перемещений имеют вид [20]:

$$w_{s(I,II)} = C_{s5(I,II)} + C_{s6(I,II)}r^2 + C_{s7(I,II)} \ln r + C_{s8(I,II)}r^2 \ln r + D_{(I,II)} \int \frac{1}{r} \int r \int \frac{1}{r} \int (rq_{(I,II)}) dr dr dr dr;$$

$$\begin{aligned}
u_{s(I,II)} &= C_{s1(I,II)}r + \frac{C_{s2(II)}}{r} + 2C_{s6(I,II)}b_{1(I,II)}r + \frac{C_{s7(I,II)}b_{1(I,II)}}{r} + C_{s8(I,II)}b_{1(I,II)}r(2\ln r + 1) + \\
&\quad + \frac{D_{(I,II)}b_{1(I,II)}}{r} \int r \int \frac{1}{r} \int (rq_{(I,II)}) dr dr dr ; \\
\Psi_{s(I,II)} &= C_{s3(I,II)}r + \frac{C_{s4(II)}}{r} + 2C_{s6(I,II)}b_{2(I,II)}r + \frac{C_{s7(I,II)}b_{2(I,II)}}{r} + C_{s8(I,II)}b_{2(I,II)}r(2\ln r + 1) + \\
&\quad + \frac{D_{(I,II)}b_{2(I,II)}}{r} \int r \int \frac{1}{r} \int (rq_{(I,II)}) dr dr dr . \tag{5}
\end{aligned}$$

Константы интегрирования квазистатического деформирования  $C_{si}$  определяются из граничных условий жесткой заделки, условий равенства всех перемещений и внутренних усилий в точке изменения толщины пластины, а также сингулярности логарифмических функций в начале координат.

Выражения для определения динамических составляющих перемещений имеют вид:

$$\begin{aligned}
w_{d(I,II)} &= \sum_{n=0}^{\infty} \left[ C_{d5n(I,II)}I_0(r\gamma_{(I,II)n}^+) + C_{d6n(II)}K_0(r\gamma_{(II)n}^+) + C_{d7n(I,II)}J_0(r\gamma_{(I,II)n}^-) + C_{d8n(II)}Y_0(r\gamma_{(II)n}^-) \right] \times \\
&\times (A_n \cos(\omega_n t) + B_n \sin(\omega_n t)) = \sum_{n=0}^{\infty} W_n(r) \cdot (A_n \cos(\omega_n t) + B_n \sin(\omega_n t)); \\
u_{d(I,II)} &= \sum_{n=0}^{\infty} \left[ C_{d1n(I,II)}r + \frac{C_{d2n(II)}}{r} + C_{d5n(I,II)}I_1(r\gamma_{(I,II)n}^+) \left( \gamma_{(I,II)n}^+ b_{1(I,II)} + \frac{\omega_n^2 m_{1(I,II)}}{\gamma_{(I,II)n}^+} \right) - \right. \\
&- C_{d6n(I,II)}K_1(r\gamma_{(I,II)n}^+) \left( \gamma_{(I,II)n}^+ b_{1(I,II)} + \frac{\omega_n^2 m_{1(I,II)}}{\gamma_{(I,II)n}^+} \right) - C_{d7n(I,II)}J_1(r\gamma_{(I,II)n}^-) \left( \gamma_{(I,II)n}^- b_{1(I,II)} - \frac{\omega_n^2 m_{1(I,II)}}{\gamma_{(I,II)n}^-} \right) - \\
&- C_{d8n(I,II)}Y_1(r\gamma_{(I,II)n}^-) \left( \gamma_{(I,II)n}^- b_{1(I,II)} - \frac{\omega_n^2 m_{1(I,II)}}{\gamma_{(I,II)n}^-} \right) \left. \right] \times (A_n \cos(\omega_n t) + B_n \sin(\omega_n t)); \\
\Psi_{d(I,II)} &= \sum_{n=0}^{\infty} \left[ C_{d3n(I,II)}r + \frac{C_{d4n(II)}}{r} + C_{d5n(I,II)}I_1(r\gamma_{(I,II)n}^+) \left( \gamma_{(I,II)n}^+ b_{2(I,II)} + \frac{\omega_n^2 m_{2(I,II)}}{\gamma_{(I,II)n}^+} \right) - \right. \\
&- C_{d6n(I,II)}K_1(r\gamma_{(I,II)n}^+) \left( \gamma_{(I,II)n}^+ b_{2(I,II)} + \frac{\omega_n^2 m_{2(I,II)}}{\gamma_{(I,II)n}^+} \right) - C_{d7n(I,II)}J_1(r\gamma_{(I,II)n}^-) \left( \gamma_{(I,II)n}^- b_{2(I,II)} - \frac{\omega_n^2 m_{2(I,II)}}{\gamma_{(I,II)n}^-} \right) - \\
&- C_{d8n(I,II)}Y_1(r\gamma_{(I,II)n}^-) \left( \gamma_{(I,II)n}^- b_{2(I,II)} - \frac{\omega_n^2 m_{2(I,II)}}{\gamma_{(I,II)n}^-} \right) \left. \right] \times (A_n \cos(\omega_n t) + B_n \sin(\omega_n t)). \tag{6}
\end{aligned}$$

Здесь  $\gamma_n^\pm$  – коэффициенты, зависящие от частоты собственных колебаний пластины  $\omega_n$ ;  $I_0(r\gamma_n^+)$ ,  $K_0(r\gamma_n^+)$ ,  $J_0(r\gamma_n^-)$ ,  $Y_0(r\gamma_n^-)$  – функции Бесселя от действительного и мнимого аргумента [21; 22];  $A_n$  и  $B_n$  – временные константы интегрирования, определяемые из начальных условий колебания пластины. Подробный вывод (6) представлен в работе [23].

Исходя из свойств ортогональности Бесселевых функций и условий нормировки выражения для временных констант интегрирования  $A_n$  и  $B_n$  будут иметь вид:

$$A_n = \int_0^{R_{II}} r W_n(r) f_1(r) dr; \quad B_n = \frac{1}{\omega_n} \int_0^{R_{II}} r W_n(r) f_2(r) dr, \quad (7)$$

где  $f_1(r), f_2(r)$  – функция прогиба и функция скорости движения точек пластины соответственно в начальный момент времени  $t_0$ ;

$W_n(r)$  – координатная функция формы колебаний.

Опираясь на исходные условия задачи об отсутствии колебательных процессов и начальных деформаций до момента приложения внешней нагрузки, учитывая (3)<sub>1</sub>, можно записать:

$$\begin{aligned} w(r, 0) &= w_s(r, 0) + w_d(r, 0) = 0; \\ f_1(r) &= w_d(r, 0) = -w_s(r, 0) \quad \text{и} \quad f_2(r) = \dot{w}_d(r, 0) = -\dot{w}_s(r, 0). \end{aligned} \quad (8)$$

Рассмотрим загрузку пластины многократно повторной внешней нагрузкой (см. рисунок 2). Представим данную нагрузку в виде циклически повторяющейся кратковременной нагрузки. Примем, что каждый цикл внешнего воздействия имеет собственную локальную координатную ось времени  $t^*_{(m)}$ . Взаимосвязь между основной координатной осью  $t$  и локальными  $t^*_{(m)}$  можно представить следующим выражением:

$$t^*_{(m)} = t - (m-1)\tau.$$

В то же время, аналитическое решение для функции прогиба пластины при действии кратковременной нагрузки представим в виде суммы двух решений на различных временных участках колебаний: «1» – от момента приложения внешней нагрузки  $t^*_{(m)} = 0$  до момента завершения действия нагрузки  $\tau_q - w^q_{(m)}(r, t)$ ; и «2» – от момента завершения внешнего воздействия  $\tau_q$  до момента приложения нового внешнего воздействия  $t^*_{(m+1)} = 0 - w^0_{(m)}(r, t)$ . Второй временной участок представляет собой свободные колебания пластины, начальными условиями для которых служат функции прогиба и скорости движения точек пластины при вынужденных колебаниях предыдущего временного участка в момент времени  $t^*_{(m)} = \tau_q$ :

$$\begin{aligned} f_1^0(r) &= w^q_{(m)}(r, \tau_q) = w_s(r, [(m-1)\tau + \tau_q]) + w^q_{d(m)}(r, \tau_q); \\ f_2^0(r) &= \dot{w}^q_{(m)}(r, \tau_q) = \dot{w}_s(r, [(m-1)\tau + \tau_q]) + \dot{w}^q_{d(m)}(r, \tau_q). \end{aligned} \quad (9)$$

Отличие первого цикла внешнего воздействия от всех последующих будет заключаться в начальных условиях для первого временного участка. В момент времени  $t^*_{(m)} = 0$  при  $m = 1$  прогиб и скорость движения точек пластины будут отсутствовать – начальные условия для первого временного участка представлены выражениями (8). При  $m > 1$  начальными условиями цикла будут служить функции прогиба и скоростей движения точек пластины предыдущего цикла в момент времени  $\tau$ , то есть, учитывая алгоритм построения решения, прогиб и скорости движения точек будут определяться свободными колебаниями пластины предыдущего цикла в момент времени  $(\tau - \tau_q)$ :

$$\begin{aligned} w^q_{(m)}(r, 0) &= w_s(r, [(m-1)\tau]) + w^q_{d(m)}(r, 0) = w^0_{d(m-1)}(r, [\tau - \tau_q]); \\ f_1^q(r) &= w^q_{d(m)}(r, 0) = -w_s(r, [(m-1)\tau]) + w^0_{d(m-1)}(r, [\tau - \tau_q]); \end{aligned} \quad (10)$$

$$f_2^q(r) = \dot{w}_{d(m)}^q(r, 0) = -\dot{w}_s(r, [(m-1)\tau]) + \dot{w}_{d(m-1)}^0(r, [\tau - \tau_q]).$$

Общее выражение для функции прогиба  $m$ -ного цикла внешнего воздействия:

$$w_{(m)}(r, t) = w_s(r, t) + w_{d(m)}^0(r, [t - (m-1)\tau - \tau_q]) + \left( w_{d(m)}^q(r, [t - (m-1)\tau]) - w_{d(m)}^0(r, [t - (m-1)\tau - \tau_q]) \right) \cdot H_0[(m-1)\tau + \tau_q - t]. \quad (11)$$

Здесь время функции динамического прогиба свободных колебаний определено как  $[t - (m-1)\tau - \tau_q]$  в виду того, что выражения (7) для констант интегрирования  $A_n$  и  $B_n$  получены из условия начала колебаний, то есть при  $t = 0$ .

Итоговое выражение для функции прогиба пластины при вынужденных колебаниях, побуждаемых многократным ритмичным внешним воздействием

$$w(r, t) = w_s(r, t) + \sum_{m=1}^N \left[ w_{d(m)}^0(t - (m-1)\tau - \tau_q) + \left[ w_{d(m)}^q(t - (m-1)\tau) - w_{d(m)}^0(t - (m-1)\tau - \tau_q) \right] \times \right. \\ \left. \times \left( H_0[(m-1)\tau + \tau_q - t] - H_0[(m-1)\tau - t] \right) - \sum_{m=2}^N \left[ \left( w_{d(m)}^0(t - (m-1)\tau - \tau_q) \right) \cdot H_0((m-1)\tau - t) + \right. \right. \\ \left. \left. + w_{d(m-1)}^0(t - (m-2)\tau - \tau_q) \left( 1 - H_0[(m-1)\tau - t] \right) \right] \right]. \quad (12)$$

Для многократно повторной линейно-убывающей внешней нагрузки константы интегрирования  $A_n$  и  $B_n$  для функции первого временного участка первого цикла будут иметь вид:

$$A_{n(1)}^q = \frac{-1}{d_n} \left[ \int_0^{R_I} r \left[ I_0(r\gamma_{(I)n}^+) + k_{1n} J_0(r\gamma_{(I)n}^-) \right] \left[ C_{s5(I)} + C_{s6(I)} r^2 + D_{(I)} \frac{q_{0(I)} r^4}{64} \right] dr + \right. \\ \left. + \int_{R_I}^{R_{II}} r \left[ k_{2n} I_0(r\gamma_{(II)n}^+) + k_{3n} K_0(r\gamma_{(II)n}^+) + k_{4n} J_0(r\gamma_{(II)n}^-) + k_{5n} Y_0(r\gamma_{(II)n}^-) \right] \times \right. \\ \left. \times \left[ C_{s5(II)} + C_{s6(II)} r^2 + C_{s7(II)} \ln r + C_{s8(II)} r^2 \ln r + D_{(II)} \frac{q_{0(II)} r^4}{64} \right] dr \right]; \quad (13)$$

$$B_{n(1)}^q = \frac{1}{\omega_n d_n} \left[ \int_0^{R_I} r \left[ I_0(r\gamma_{(I)n}^+) + k_{1n} J_0(r\gamma_{(I)n}^-) \right] \cdot D_{(I)} \frac{r^4 q_{0(I)}}{64 \tau_q} dr + \int_{R_I}^{R_{II}} r \left[ k_{2n} I_0(r\gamma_{(II)n}^+) + \right. \\ \left. + k_{3n} K_0(r\gamma_{(II)n}^+) + k_{4n} J_0(r\gamma_{(II)n}^-) + k_{5n} Y_0(r\gamma_{(II)n}^-) \right] \cdot D_{(II)} \frac{r^4 q_{0(II)}}{64 \tau_q} dr \right]. \quad (14)$$

Константы интегрирования для функции первого временного участка  $m$ -ного цикла при  $m > 1$  могут быть определены с помощью следующих выражений

$$\begin{aligned}
A_{n(m)}^q &= \frac{-1}{d_n} \left[ \int_0^{R_I} r \left[ I_0 \left( r\gamma_{(I)n}^+ \right) + k_{1n} J_0 \left( r\gamma_{(I)n}^- \right) \right] \cdot \left[ C_{s5(I)} + C_{s6(I)} r^2 + D_{(I)} \frac{q_{0(I)} r^4}{64} - \right. \right. \\
&- \sum_{n=0}^{\infty} \left( \frac{A_{n(m-1)}^0 \cos \left( \omega_n \left[ \tau - \tau_q \right] \right) + B_{n(m-1)}^0 \sin \left( \omega_n \left[ \tau - \tau_q \right] \right)}{d_n} \times \left( I_0 \left( r\gamma_{(I)n}^+ \right) + k_{1n} J_0 \left( r\gamma_{(I)n}^- \right) \right) \right) \Bigg] dr + \\
&+ \int_{R_I}^{R_{II}} \left( r \left[ k_{2n} I_0 \left( r\gamma_{(II)n}^+ \right) + k_{3n} K_0 \left( r\gamma_{(II)n}^+ \right) + k_{4n} J_0 \left( r\gamma_{(II)n}^- \right) + k_{5n} Y_0 \left( r\gamma_{(II)n}^- \right) \right] \cdot \left[ C_{s5(II)} + C_{s6(II)} r^2 + \right. \right. \\
&+ C_{s7(II)} \ln r + C_{s8(II)} r^2 \ln r + D_{(II)} \frac{q_{0(II)} r^4}{64} - \sum_{n=0}^{\infty} \left( \frac{A_{n(m-1)}^0 \cos \left( \omega_n \left[ \tau - \tau_q \right] \right) + B_{n(m-1)}^0 \sin \left( \omega_n \left[ \tau - \tau_q \right] \right)}{d_n} \times \right. \\
&\left. \left. \times \left( k_{2n} I_0 \left( r\gamma_{(II)n}^+ \right) + k_{3n} K_0 \left( r\gamma_{(II)n}^+ \right) + k_{4n} J_0 \left( r\gamma_{(II)n}^- \right) + k_{5n} Y_0 \left( r\gamma_{(II)n}^- \right) \right) \right) \right) \Bigg] dr \Bigg]; \quad (15)
\end{aligned}$$

$$\begin{aligned}
B_{n(m)}^q &= \frac{1}{\omega_n d_n} \left[ \int_0^{R_I} r \left[ I_0 \left( r\gamma_{(I)n}^+ \right) + k_{1n} J_0 \left( r\gamma_{(I)n}^- \right) \right] \cdot \left[ D_{(I)} \frac{r^4 q_{0(I)}}{64 \tau_q} - \right. \\
&- \sum_{n=0}^{\infty} \left( \frac{\omega_n \left( A_{n(m-1)}^0 \sin \left( \omega_n \left[ \tau - \tau_q \right] \right) - B_{n(m-1)}^0 \cos \left( \omega_n \left[ \tau - \tau_q \right] \right) \right) \left( I_0 \left( r\gamma_{(I)n}^+ \right) + k_{1n} J_0 \left( r\gamma_{(I)n}^- \right) \right)}{d_n} \right) \Bigg] dr + \\
&+ \int_{R_I}^{R_{II}} \left( r \left[ k_{2n} I_0 \left( r\gamma_{(II)n}^+ \right) + k_{3n} K_0 \left( r\gamma_{(II)n}^+ \right) + k_{4n} J_0 \left( r\gamma_{(II)n}^- \right) + k_{5n} Y_0 \left( r\gamma_{(II)n}^- \right) \right] \times \right. \\
&\times \left[ D_{(II)} \frac{r^4 q_{0(II)}}{64 \tau_q} - \sum_{n=0}^{\infty} \left( \frac{\omega_n \left( A_{n(m-1)}^0 \sin \left( \omega_n \left[ \tau - \tau_q \right] \right) - B_{n(m-1)}^0 \cos \left( \omega_n \left[ \tau - \tau_q \right] \right) \right)}{d_n} \right) \times \right. \\
&\left. \left. \times \left( k_{2n} I_0 \left( r\gamma_{(II)n}^+ \right) + k_{3n} K_0 \left( r\gamma_{(II)n}^+ \right) + k_{4n} J_0 \left( r\gamma_{(II)n}^- \right) + k_{5n} Y_0 \left( r\gamma_{(II)n}^- \right) \right) \right) \right) \Bigg] dr. \quad (16)
\end{aligned}$$

Константы интегрирования для второго временного участка  $m$ -ного цикла:

$$\begin{aligned}
A_{n(m)}^0 &= \frac{1}{d_n} \left[ \int_0^{R_I} r \left[ I_0 \left( r\gamma_{(I)n}^+ \right) + k_{1n} J_0 \left( r\gamma_{(I)n}^- \right) \right] \times \right. \\
&\times \sum_{n=0}^{\infty} \left( \frac{A_{n(m)}^q \cos \left( \omega_n \tau_q \right) + B_{n(m)}^q \sin \left( \omega_n \tau_q \right)}{d_n} \left( I_0 \left( r\gamma_{(I)n}^+ \right) + k_{1n} J_0 \left( r\gamma_{(I)n}^- \right) \right) \right) \Bigg] dr + \\
&+ \int_{R_I}^{R_{II}} \left( r \left[ k_{2n} I_0 \left( r\gamma_{(II)n}^+ \right) + k_{3n} K_0 \left( r\gamma_{(II)n}^+ \right) + k_{4n} J_0 \left( r\gamma_{(II)n}^- \right) + k_{5n} Y_0 \left( r\gamma_{(II)n}^- \right) \right] \times \right. \\
&\times \sum_{n=0}^{\infty} \left( \frac{A_{n(m)}^q \cos \left( \omega_n \tau_q \right) + B_{n(m)}^q \sin \left( \omega_n \tau_q \right)}{d_n} \right) \times
\end{aligned}$$

$$\begin{aligned}
& \times \left( k_{2n} I_0 \left( r \gamma_{(\text{II})n}^+ \right) + k_{3n} K_0 \left( r \gamma_{(\text{II})n}^+ \right) + k_{4n} J_0 \left( r \gamma_{(\text{II})n}^- \right) + k_{5n} Y_0 \left( r \gamma_{(\text{II})n}^- \right) \right) \left. \right] dr \Bigg]; \quad (17) \\
B_{n(m)}^0 = & \frac{-1}{\omega_n d_n} \left[ \int_0^{R_I} \left( r \left[ I_0 \left( r \gamma_{(\text{I})n}^+ \right) + k_{1n} J_0 \left( r \gamma_{(\text{I})n}^- \right) \right] \right) \left[ \sum_{n=0}^{\infty} \left( \frac{\omega_n}{d_n} \left( A_{n(m)}^q \sin(\omega_n \tau_q) - B_{n(m)}^q \cos(\omega_n \tau_q) \right) \right) \times \right. \right. \\
& \left. \left. \times \left( I_0 \left( r \gamma_{(\text{I})n}^+ \right) + k_{1n} J_0 \left( r \gamma_{(\text{I})n}^- \right) \right) \right] + \frac{D_{(\text{I})} q_{0(\text{I})} r^4}{64 \tau_q} \right] dr + \\
& + \int_{R_I}^{R_{\text{II}}} \left( r \left[ k_{2n} I_0 \left( r \gamma_{(\text{II})n}^+ \right) + k_{3n} K_0 \left( r \gamma_{(\text{II})n}^+ \right) + k_{4n} J_0 \left( r \gamma_{(\text{II})n}^- \right) + k_{5n} Y_0 \left( r \gamma_{(\text{II})n}^- \right) \right] \times \right. \\
& \left. \times \left[ \sum_{n=0}^{\infty} \left( \frac{\omega_n}{d_n} \left( A_{n(m)}^q \sin(\omega_n \tau_q) - B_{n(m)}^q \cos(\omega_n \tau_q) \right) \right) \left( k_{2n} I_0 \left( r \gamma_{(\text{II})n}^+ \right) + k_{3n} K_0 \left( r \gamma_{(\text{II})n}^+ \right) + \right. \right. \right. \\
& \left. \left. \left. + k_{4n} J_0 \left( r \gamma_{(\text{II})n}^- \right) + k_{5n} Y_0 \left( r \gamma_{(\text{II})n}^- \right) \right) \right] + \frac{D_{(\text{II})} q_{0(\text{II})} r^4}{64 \tau_q} \right] dr \Bigg]. \quad (18)
\end{aligned}$$

**Численные расчеты.** Для численной апробации полученного решения рассмотрим защемленную по внешнему контуру круговую трехслойную ступенчатую пластину, имеющую уширение в центральной части (см. рисунок 1).

Геометрические параметры пластины: внешний радиус –  $R_{\text{II}} = 1$  м; радиус центрального участка I –  $R_I = 0,5 R_{\text{II}}$ ; толщина внешних слоев пластины на участке I –  $h_{1(\text{I})} = h_{2(\text{I})} = 0,04$  м; толщина внешних слоев пластины на участке II –  $h_{1(\text{II})} = h_{2(\text{II})} = 0,02$  м; толщина срединного заполнителя –  $h_3 = 0,3$  м.

Состав слоев пластины представлен материалами «сталь–ПС-1–сталь».

Физико-механические характеристики материалов слоев [24–26]: сталь –  $\rho_{1,2} = 7850$  кг/м<sup>3</sup>;  $K_{1,2} = 1,913 \cdot 10^{11}$  Па,  $G_{1,2} = 0,78 \cdot 10^{11}$  Па; полистирольный пенопласт (ПС-1) –  $\rho_3 = 60$  кг/м<sup>3</sup>;  $K_3 = 10 \cdot 10^6$  Па,  $G_3 = 15 \cdot 10^6$  Па. Здесь  $\rho$  – плотность;  $K$  – модуль объемной деформации;  $G$  – модуль сдвига.

Пластина воспринимает нагрузку из 6-и последовательных внешних воздействий, временной интервал между которыми привязан к первой частоте собственных колебаний пластины  $\omega_0$ . Продолжительность приложения нагрузки совпадает с полупериодом и периодом первой формы колебаний пластины:  $\tau = 134\pi / \omega_0 = 1,00$  с,  $\tau = 135\pi / \omega_0 = 1,01$  с;  $\tau_q = \pi / \omega_0 = 7,4 \cdot 10^{-3}$  с,  $\tau_q = 2\pi / \omega_0 = 14,9 \cdot 10^{-3}$  с.

Максимальная интенсивность каждого внешнего воздействия  $q_{0(\text{I})} = q_{0(\text{II})} = -100$  кПа.

На рисунке 3 представлены графики изменения прогибов пластины во времени.



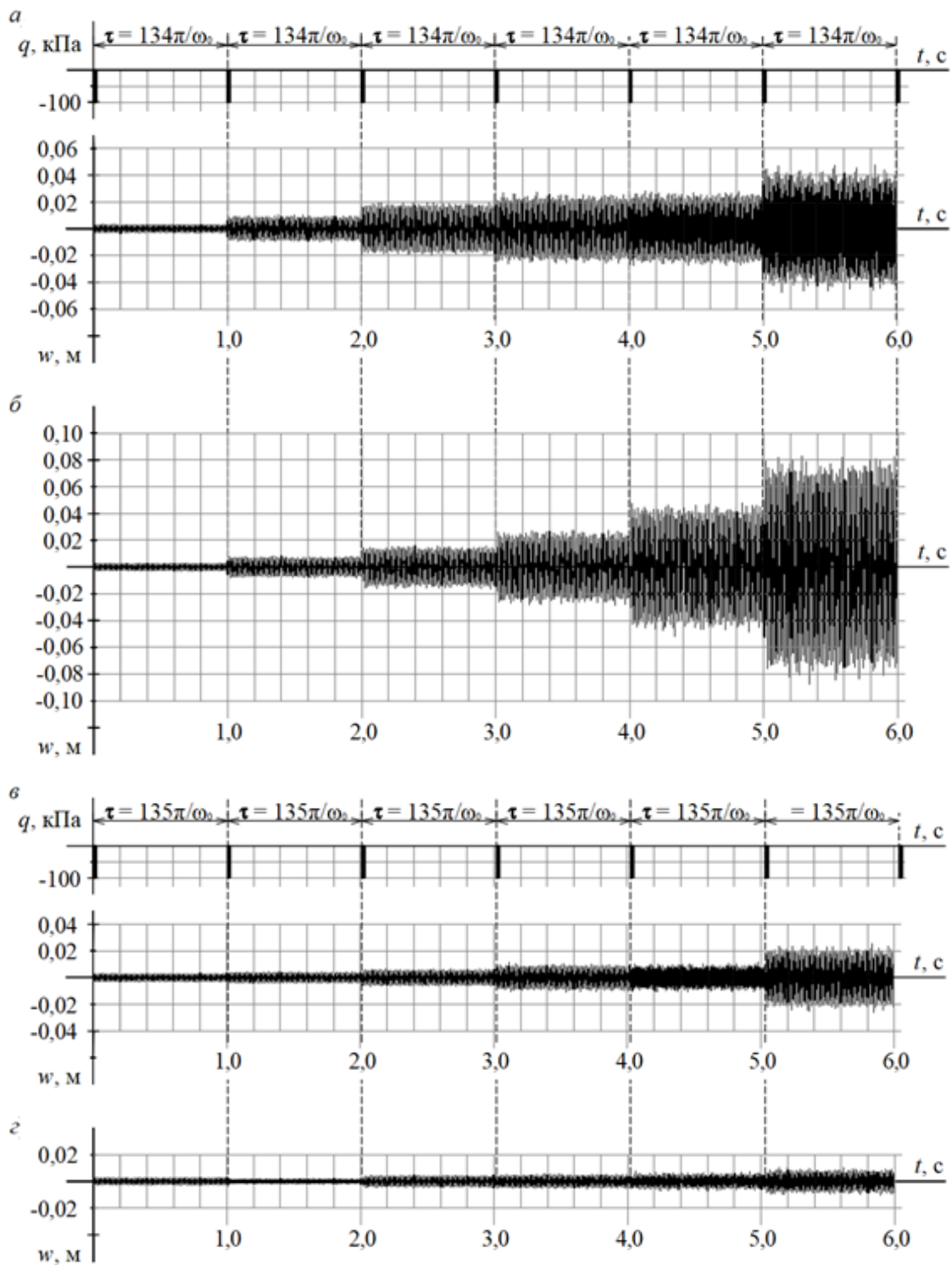


Рис. 3. Изменение прогиба пластины «сталь–ПС-1–сталь» при применении многократно повторной линейно-убывающей нагрузки:  $a, б$  – длительность приложения каждого воздействия  $\tau_q = \pi / \omega_0$ ;  $в, г$  – длительность приложения каждого воздействия  $\tau_q = 2\pi / \omega_0$

**Выводы.** Из приведенных графиков видно, что временной интервал между внешними воздействиями оказывает существенное влияние на характер вынужденных колебаний.

Выразив интервал между нагрузками как  $\tau = k\pi / \omega_0$  можно сказать, что если  $k$  представляет собой натуральное четное число, то с течением времени колебаний происходит постоянное нарастание амплитуды прогибов. При этом для многократно повторной ли-

нейно-убывающей нагрузки длительность самого внешнего воздействия  $\tau_q$  никак не влияет на характер колебаний.

В случае, если интервал между воздействиями представлен выражением  $\tau = k\pi/\omega_0$  с нечетным значением  $k$ , характер колебаний пластины строится по принципу попеременного возбуждения и гашения амплитуды прогибов. При этом, как и в предыдущем случае, длительность загружения  $\tau_q$  не оказывает влияние на характер колебаний.

*Работа выполнена при поддержке Белорусского республиканского фонда фундаментальных исследований (проект № T22M-072).*

## ЛИТЕРАТУРА

1. Lal, R. On radially symmetric vibrations of circular sandwich plates of non-uniform thickness / R. Lal, R. Rani // International journal of mechanical sciences. – 2015. – № 99. – P. 29–39. <https://doi.org/10.1016/j.ijmecsci.2015.04.016>
2. Lal, R. On the radially symmetric vibrations of circular sandwich plates with polar orthotropic facings and isotropic core of quadratically varying thickness by harmonic differential quadrature method / R. Lal, R. Rani // Meccanica. – 2016. – № 51. – P. 611–634. <https://doi.org/10.1007/s11012-015-0226-9>.
3. Rani, R. Radially symmetric vibrations of exponentially tapered clamped circular sandwich plate using harmonic differential quadrature method / R. Rani, R. Lal // Mathematical analysis and its applications. – 2015. – № 143. – P. 633–643. [https://doi.org/10.1007/978-81-322-2485-3\\_52](https://doi.org/10.1007/978-81-322-2485-3_52).
4. Lal, R. On the use of differential quadrature method in the study of free axisymmetric vibrations of circular sandwich plates of linearly varying thickness / R. Lal, R. Rani // Journal of vibration and control. – 2016. – № 7(22). – P. 1729–1748. <https://doi.org/10.1177/1077546314544695>.
5. Rani, R. Axially symmetric vibrations of circular sandwich plates of linearly varying thickness / R. Rani, R. Lal // Soft computing for problem solving : proceedings of the third international conference, New Delhi, 04.03.2014 / Springer; In: M. Pant [et al.] (eds). – New Delhi, 2014. – № 258. – P. 169–181. [https://doi.org/10.1007/978-81-322-1771-8\\_15](https://doi.org/10.1007/978-81-322-1771-8_15).
6. Chang, J. S. Free vibrations of sandwich plates of variable thickness / J. S. Chang, H. C. Chen // Journal of sound and vibration. – 1992. – № 2(155). – P. 195–208. [https://doi.org/10.1016/0022-460X\(92\)90507-T](https://doi.org/10.1016/0022-460X(92)90507-T).
7. Lu, Ch. H. Bending of anisotropic sandwich beams with variable thickness / Ch. H. Lu // Journal of thermoplastic composite materials. – 1994. – № 4(7). – P. 364–374. <https://doi.org/10.1177/089270579400700406>.
8. Süssler, S. Nonlinear dynamic analysis of tapered sandwich plates with multi-layered faces subjected to air blast loading / S. Süssler, H. Türkmeni // International Journal of mechanics and materials in design. – 2017. – № 13. – P. 429–451. <https://doi.org/10.1007/s10999-016-9346-1>.
9. Nguyen, C. H. Dynamics and buckling of sandwich panels with stepped facings / C. H. Nguyen [et al.] // International journal of structural stability and dynamics. – 2011. – № 04(11). – P. 697–716. <https://doi.org/10.1142/S0219455411004300>.
10. Nguyen, C. H. Enhanced static response of sandwich panels with honeycomb cores through the use of stepped facings / C. H. Nguyen, K. Chandrashekhara, V. Birman // Journal of sandwich structures & materials. – 2011. – № 2(13). – P. 237–260. <https://doi.org/10.1177/1099636210369615>.

11. Зорич, В. А. Математический анализ. Часть I / В. А. Зорич. – изд. 6-е дополн. – Москва : МЦНМО, 2012. – 710 с.
12. Timoshenko, S. P. On the correction for shear the differential equation for transverse vibrations of the prismatic bars / S. P. Timoshenko // Philosophical magazine and journal of science. – 1921. – № 41(245). – P. 744–746. <https://doi.org/10.1080/14786442108636264>
13. Bauchau, O. Kirchhoff plate theory / O. Bauchau, J. Craig // Structural analysis. – 2009. – № 163. – P. 819–914.
14. Reddy, J. N. Theory and analysis of elastic plates and shells / J. N. Reddy. – Boca-Raton : CRC Press, 2006. – 568 p. <https://doi.org/10.1201/9780849384165>
15. Новацкий, В. Теория упругости / В. Новацкий. – Москва : Мир, 1975. – 872 с.
16. Natural vibration of circular and annular thin plates by Hamiltonian approach / Z. H. Zhou [et al.] // Journal of Sound and Vibration. – 2011. – № 5(330). – P: 1005–1017. <https://doi.org/10.1016/j.jsv.2010.09.015>
17. Колтунов, М. А. Упругость и прочность цилиндрических тел / М. А. Колтунов, Ю. Н. Васильев, В. А. Черных. – Москва : Высшая школа, 1975. – 528 с.
18. Маркова, М. В. Постановка начально-краевой задачи об осесимметричных колебаниях круговой трехслойной пластины переменной толщины / М. В. Маркова, Д. В. Леоненко // Теоретическая и прикладная механика : междунар. науч.-техн. сб. – Минск, 2022. – Вып. 36. – С. 3–10.
19. Маркова, М. В. Вынужденные колебания круговой трехслойной пластины ступенчато-переменной толщины, побуждаемые ударным воздействием / М. В. Маркова // Проблемы физики, математики и техники. – 2022. – № 3 (52). – С. 28–36.
20. Леоненко, Д. В. Колебания круговой трехслойной ступенчатой пластины при ударном периодическом воздействии / Д. В. Леоненко, М. В. Маркова // Механика машин, механизмов и материалов. – 2022. – № 3 (60). – С. 68–76.
21. Бейтман, Г. Высшие трансцендентные функции / Г. Бейтман, А. Эрдейи. – Москва : Наука, 1974. – 296 с.
22. Ватсон Г. Н. Теория Бесселевых функций / Г. Н. Ватсон. – Москва : Изд-во иностр. лит., 1949. – 799 с.
23. Маркова, М. В. Собственные колебания круговой трехслойной ступенчатой пластины / М. В. Маркова // Механика. Исследования и инновации. – 2021. – №14 (14). – С. 147–158.
24. Плескачевский, Ю. М. Механика трехслойных стержней и пластин, связанных с упругим основанием / Ю. М. Плескачевский, Э. И. Старовойтов, Д. В. Леоненко. – Москва : Физматлит, 2011. – 560 с.
25. СП 5.04.01–2021. Стальные конструкции. – Введ. 29.07.2021. – Минск : Минстройархитектуры, 2021. – 147 с.
26. Строительные конструкции с применением пластмасс. Примеры проектирования и расчета: учеб. пособие для инж.-строит. вузов и фак. / А. М. Иванов [и др.]. – Москва : Высш. школа, 1968. – 220 с.

*Поступила: 15.04.2023*